

TITLE:

AVAILABLE LANGUAGE: IT

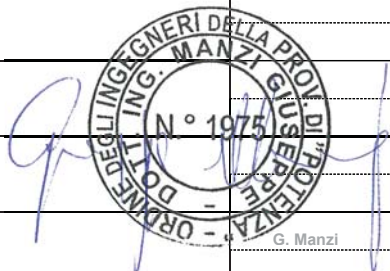
# COSTRUZIONE DELL'IMPIANTO EOLICO DI "TRAPANI 2"

## PROGETTO DEFINITIVO

Studio evoluzione ombra (Shadow Flickering)

File: GRE.EEC.R.26.IT.W.13824.00.020.00 - Studio evoluzione ombra (Shadow Flickering).pdf

<b>00</b>	<b>18/12/2020</b>	<b>Prima emissione</b>	G. Manzi	L. Lavazza
<i>REV.</i>	<i>DATE</i>	<i>DESCRIPTION</i>	<i>PREPARED</i>	<i>APPROVED</i>



<b>GRE VALIDATION</b>		
	<i>T. Fassi (GRE)</i>	<i>A. Puosi (GRE)</i>
COLLABORATORS	VERIFIED BY	VALIDATED BY

<b>PROJECT / PLANT</b> <b>Trapani 2</b>	<b>GRE CODE</b>																	
	<small>GROUP</small>	<small>FUNCTION</small>	<small>TYPE</small>	<small>ISSUER</small>	<small>COUNTRY</small>	<small>TEC</small>	<small>PLANT</small>				<small>SYSTEM</small>	<small>PROGRESSIVE</small>	<small>REVISION</small>					
	<b>GRE</b>	<b>EEC</b>	<b>R</b>	<b>2</b>	<b>6</b>	<b>I</b>	<b>T</b>	<b>W</b>	<b>1</b>	<b>3</b>	<b>8</b>	<b>2</b>	<b>4</b>	<b>0</b>	<b>0</b>	<b>0</b>	<b>2</b>	<b>0</b>

<b>CLASSIFICATION</b>	<b>PUBLIC</b>	<b>UTILIZATION SCOPE</b>	<b>BASIC DESIGN</b>
-----------------------	---------------	--------------------------	---------------------

**INDEX**

1. INTRODUZIONE .....	3
1.1. DESCRIZIONE DEL PROPONENTE .....	3
1.2. CONTENUTI DELLA RELAZIONE .....	3
2. INQUADRAMENTO TERRITORIALE .....	4
3. IL FENOMENO DELLO SHADOW FLICKERING .....	4
4. NORME DI RIFERIMENTO .....	8
5. INDIVIDUAZIONE DEI RICETTORI .....	9
6. MODELLO DI CALCOLO .....	10
7. RISULTATI .....	12

## **1. INTRODUZIONE**

Stantec S.p.A., in qualità di Consulente Tecnico, è stata incaricata da Enel Green Power Solar Energy S.r.l. di redigere il progetto definitivo per la realizzazione di un nuovo impianto eolico denominato "Impianto eolico Trapani 2" e delle opere connesse, da ubicarsi nei comuni di Mazara del Vallo (TP), Marsala (TP), Castelvetro (TP) e Santa Ninfa (TP).

Si prevede che l'energia prodotta dagli aerogeneratori, attraverso il sistema di cavidotti interrati in media tensione a 33 kV, venga convogliata ad una sottostazione di trasformazione 220/33 kV in progetto per l'innalzamento da media ad alta tensione. Inoltre, si prevede che la sottostazione di trasformazione venga collegata, tramite cavidotto in alta tensione a 220 kV in progetto, alla stazione di smistamento RTN denominata "Partanna 3", di nuova realizzazione da parte dell'ente gestore di rete nel comune di Santa Ninfa (TP). Per la connessione alla stazione di smistamento RTN di "Partanna 3", si prevede che il cavidotto AT in progetto attraversi i comuni di Mazara del Vallo (TP), Castelvetro (TP) e Santa Ninfa (TP).

In sintesi, il presente progetto prevede:

- l'installazione di 16 nuovi aerogeneratori, in linea con gli standard più alti presenti sul mercato, per una potenza installata pari a 96 MW;
- la realizzazione delle fondazioni per gli aerogeneratori in progetto;
- la realizzazione di piazzole di montaggio degli aerogeneratori, di nuovi tratti di viabilità e l'adeguamento della viabilità esistente, al fine di garantire l'accesso per il trasporto degli aerogeneratori;
- la realizzazione di una nuova sottostazione di trasformazione 220/33 kV e la connessione degli aerogeneratori alla stazione tramite cavidotti interrati a 33 kV;
- la realizzazione di un nuovo cavidotto interrato a 220 kV per la connessione della sottostazione di trasformazione alla stazione di smistamento RTN di "Partanna 3";
- l'utilizzo temporaneo, attraverso opportuni adeguamenti, di aree per il Site Camp e per lo stoccaggio temporaneo (Temporary Storage Area).

Il progetto è in linea con gli obiettivi nazionali ed europei per la riduzione delle emissioni di CO<sub>2</sub> legate a processi di produzione di energia elettrica.

### **1.1. DESCRIZIONE DEL PROPONENTE**

Il soggetto proponente dell'iniziativa è Enel Green Power Solar Energy S.r.l., società iscritta alla Camera di Commercio di Roma che ha come Socio Unico la società Enel Green Power S.p.A., società del Gruppo Enel che dal 2008 si occupa dello sviluppo e della gestione delle attività di generazione di energia da fonti rinnovabili.

Enel Green Power è presente in 28 paesi nei 5 continenti con una capacità gestita di oltre 46 GW e più di 1.200 impianti.

In Italia, il parco di generazione di Enel Green Power è rappresentato dalle seguenti tecnologie rinnovabili: idroelettrico, eolico, fotovoltaico, geotermia. Attualmente il Paese conta una capacità gestita complessiva di 14,6 GW.

### **1.2. CONTENUTI DELLA RELAZIONE**

La presente relazione ha l'obiettivo di illustrare il fenomeno dello "shadow flickering" e di valutare il suo effetto nell'area circostante l'impianto eolico in progetto.

Il Capitolo 2 fornisce una descrizione dell'inquadramento territoriale e geografico dell'impianto oggetto di integrale ricostruzione.

Il Capitolo 3 illustra il fenomeno dello "shadow flickering" prodotto dagli aerogeneratori.

Il Capitolo 4 fornisce un breve quadro normativo di riferimento.

Il Capitolo 5 elenca i ricettori sensibili che sono stati identificati nell'area di indagine.

Il Capitolo 6 descrive la metodologia che è stata utilizzata per valutare l'effetto dello "shadow

flickering" e valutare il suo impatto sui ricettori individuati.

Infine, il Capitolo 7 presenta i risultati del calcolo valutandone l'impatto e indicando possibili azioni mitigative del fenomeno.

## **2. INQUADRAMENTO TERRITORIALE**

Il sito oggetto di studio nel presente elaborato è ubicato a circa 25 km a Sud-Est dal centro abitato di Trapani, nei comprensori comunali di Marsala e Mazara del Vallo.

La morfologia dell'area e delle zone limitrofe è contraddistinta da un territorio collinare privo di particolari complessità morfologiche. Il sito di interesse è infatti caratterizzato da colline di elevazione limitata (tra i 90 m s.l.m. ed i 170 m s.l.m.) con pendii dolci e poco scoscesi.

Il progetto ricade interamente nella provincia di Trapani, entro i confini comunali di Mazara del Vallo, Marsala, Castelvetro e Santa Ninfa e, in particolare, all'interno dei seguenti riferimenti cartografici:

- Foglio di mappa catastale del Comune di Mazara del Vallo n° 21, 22, 29, 30, 31, 32, 33, 38, 39, 40, 41, 42, 43, 44, 45, 46, 50, 56, 57, 58, 59, 60, 62, 63, 64, 65, 66, 67, 68, 69, 70, 71, 72, 80, 86, 87, 89;
- Foglio di mappa catastale del Comune di Marsala n° 190;
- Fogli di mappa catastale del Comune di Castelvetro n° 1, 2, 3;
- Foglio di mappa catastale del Comune di Santa Ninfa n° 52;
- Fogli I.G.M. in scala 1:25.000, codificati 257 III-SE "Borgata Costiera", 257 III-NE "Baglio Chitarra", e 257 II-SO "Castelvetro";
- Carta tecnica regionale CTR in scala 1:10.000, fogli n° 617040, 617080, 618010, 618050 e 618060.

Di seguito è riportato l'inquadramento territoriale dell'area di progetto e la configurazione proposta su ortofoto:



**Figura 2-1: Inquadramento generale dell'area di progetto**

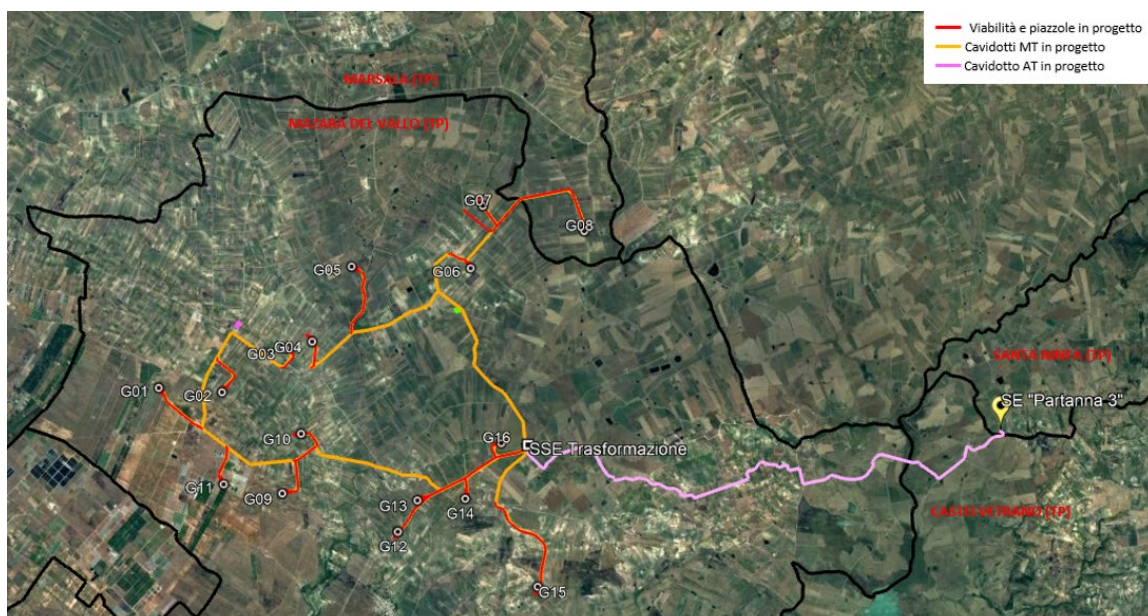


Figura 2-2: Configurazione proposta su ortofoto

Di seguito è riportato in formato tabellare un dettaglio sul posizionamento degli aerogeneratori in progetto, in coordinate WGS84 UTM fuso 33N:

Tabella 1: Coordinate aerogeneratori

WTG	Comune	Est [m]	Nord [m]	Altitudine [m s.l.m.]
<b>G01</b>	Mazara del Vallo	287696,01	4180827,02	126
<b>G02</b>	Mazara del Vallo	288950,00	4180709,97	138
<b>G03</b>	Mazara del Vallo	290225,73	4181539,98	154
<b>G04</b>	Mazara del Vallo	290763,09	4181661,90	98
<b>G05</b>	Mazara del Vallo	291582,00	4183123,00	92
<b>G06</b>	Mazara del Vallo	293941,43	4183028,60	146
<b>G07</b>	Mazara del Vallo	294213,01	4184250,96	148
<b>G08</b>	Marsala	296210,38	4183703,70	150
<b>G09</b>	Mazara del Vallo	290093,66	4178683,76	140
<b>G10</b>	Mazara del Vallo	290497,03	4179852,00	146
<b>G11</b>	Mazara del Vallo	288936,30	4178894,08	124
<b>G12</b>	Mazara del Vallo	292367,11	4177871,05	138
<b>G13</b>	Mazara del Vallo	292770,62	4178479,69	148
<b>G14</b>	Mazara del Vallo	293719,00	4178489,00	152
<b>G15</b>	Mazara del Vallo	295110,00	4176720,00	104
<b>G16</b>	Mazara del Vallo	294461,00	4179565,99	170

### 3. IL FENOMENO DELLO SHADOW FLICKERING

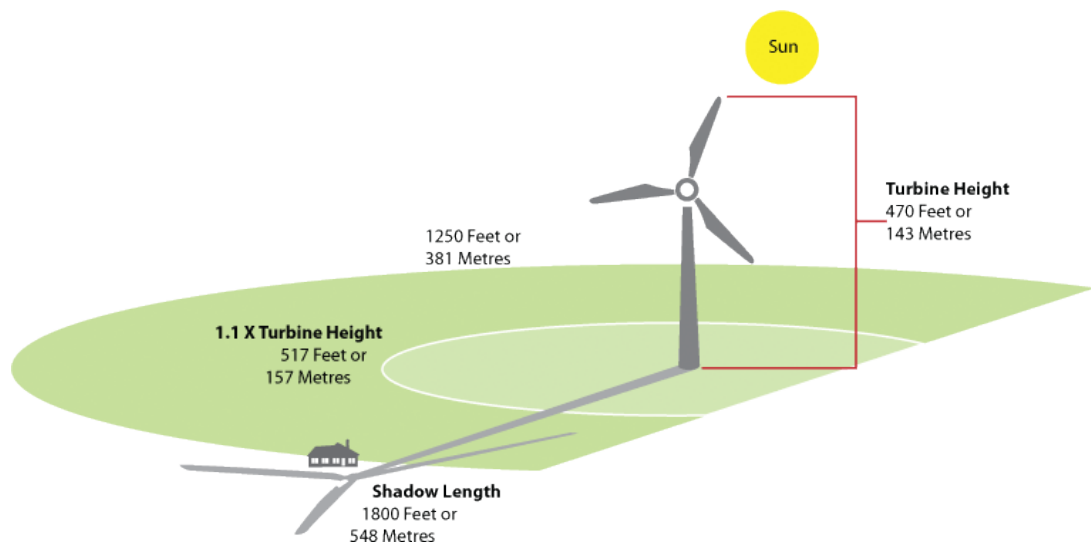
Gli aerogeneratori, al pari di tutte le altre strutture fortemente sviluppate in altezza, proiettano un'ombra sulle aree circostanti in presenza di irraggiamento solare diretto.

Lo shadow flickering (letteralmente ombreggiamento intermittente) è l'espressione comunemente impiegata per descrivere una fluttuazione periodica dell'intensità luminosa osservata. Tale effetto (stroboscopico) è causato dalla proiezione, su una generica superficie, dell'ombra indotta da oggetti in movimento. Nel caso specifico di un impianto eolico il fenomeno è generato dalla proiezione, al suolo o su un ricettore (abitazione), dell'ombra prodotta dalle pale degli aerogeneratori in rotazione allorché il sole si trova alle loro spalle (cfr. figura successiva).

Il fenomeno, dal punto di vista di un potenziale ricettore, si traduce in una variazione alternata e ciclica di intensità luminosa che, a lungo andare, può provocare fastidio agli occupanti delle abitazioni le cui finestre risultano esposte al fenomeno stesso. Il fenomeno, ovviamente, risulta assente sia quando il sole è oscurato da nuvole o dalla nebbia, sia quando, in assenza di vento, le pale dell'aerogeneratore non sono in rotazione.

In particolare, le frequenze che possono provocare un senso di fastidio sono comprese tra i 2,5 ed i 20 Hz (Verkuijlen and Westra, 1984), e, l'effetto sugli individui è simile a quello che si sperimenterebbe in seguito alle variazioni di intensità luminosa di una lampada ad incandescenza a causa di continui sbalzi della tensione della rete di alimentazione elettrica.

I più recenti aerogeneratori tripala operano ad una velocità di rotazione di molto inferiore ai 35 giri al minuto, corrispondente ad una frequenza di passaggio delle pale sulla verticale inferiore a 1,75 Hz, minore, quindi, della frequenza critica di 2,5 Hz riportata in letteratura. Inoltre, i generatori di grande potenza (dal MW in su) raramente superano la velocità di rotazione di 15 giri al minuto, corrispondente a frequenze di passaggio delle pale ampiamente minori di quelle ritenute fastidiose per la maggioranza degli individui.



**Figura 3-1: Rappresentazione schematica fenomeno shadow flickering**

Tale fenomeno, se sperimentato da un ricettore per periodi di tempo prolungati, può generare un disturbo, nelle seguenti condizioni:

- presenza di un livello sufficiente di intensità luminosa, ovvero in condizioni di cielo sereno sgombro da nubi ed in assenza di nebbia e con sole alto rispetto all'orizzonte;
- assenza di ostacoli sulla congiungente ricettore - aerogeneratore: la presenza di vegetazione e/o edifici interposti all'ombra generata da questi ultimi annullerebbe il fenomeno. quindi, condizione favorevole affinché il fenomeno in esame si verifichi, è quella rappresentata dall'orientamento perpendicolare delle finestre di un'abitazione rispetto alla linea congiungente il ricettore all'aerogeneratore in assenza di ostacoli fisici (alberi, altri edifici ecc...);
- orientamento perpendicolare del rotore rispetto alla congiungente sole - ricettore: infatti, quando il piano del rotore è perpendicolare alla linea sole-ricettore, l'ombra

proiettata dalle pale risulta muoversi all'interno di un "disco" che induce un effetto non trascurabile di shadow flickering; viceversa, nel caso in cui il piano del rotore risulti essere in linea con il sole, l'ombra proiettata risulterebbe molto assottigliata e di bassa intensità per cui l'effetto di shadow flickering sarebbe del tutto trascurabile.

Inoltre, affinché lo shadow flickering, abbia un'intensità non trascurabile è necessario che:

- la posizione del sole sia tale da produrre una luminosità sufficiente; tale condizione corrisponde, per la latitudine di progetto, in un'altezza del sole sull'orizzonte dell'ordine di almeno 10°;
- le pale del rotore siano ovviamente in rotazione;
- l'aerogeneratore ed il potenziale ricettore non siano troppo distanti: infatti, le ombre proiettate in prossimità dell'aerogeneratore risultano di maggiore intensità rispetto a quelle proiettate ad una distanza crescente. tale condizione deriva dal fatto che in presenza di un ricettore molto prossimo all'aerogeneratore, una porzione ampia di pala copre il disco solare così come osservato dal punto di vista del ricettore stesso, e, quindi, l'intensità del flicker risulta maggiormente percepibile. all'aumentare della distanza tra aerogeneratore e ricettore, le pale, durante il loro moto di rotazione, andranno a coprire una porzione sempre più piccola del disco solare, inducendo un effetto di flicker di minore intensità.

Alla luce di quanto sopra esposto, le relazioni spaziali tra un aerogeneratore ed un ricettore (abitazione), così come la direzione del vento risultano essere fattori chiave per la durata del fenomeno di shadow flicker. Per distanze dell'ordine dei 400-500 m, il fenomeno in esame potrebbe verificarsi all'alba oppure al tramonto, ovvero in quelle ore in cui le ombre risultano molto lunghe e la radiazione diretta è di minore intensità per effetto della piccola elevazione solare. Al di là di una certa distanza l'ombra smette di essere un problema perché il rapporto tra lo spessore della pala ed il diametro apparente del sole diventa molto piccolo. Quindi, come è facile immaginare, la condizione più penalizzante corrisponde al caso in cui il piano del rotore risulti ortogonale alla congiungente ricettore - sole; infatti, in tali condizioni, l'ombra proiettata darà origine ad un cerchio di diametro pari a quello del rotore del generatore eolico.

Sebbene il fenomeno possa essere percepito anche all'esterno, esso risulta evidente e fastidioso in quegli ambienti con finestrate rivolte verso le ombre. In generale, l'area soggetta a shadow flicker non si estende oltre i 500÷1000 m dall'aerogeneratore e le zone a maggiore impatto ricadono entro i 500 m di distanza dalle macchine con durata del fenomeno dell'ordine delle 200 ore all'anno; il flickering, se presente, non supera in genere i 30/40 minuti di durata potenziale nell'arco di una giornata.

L'intensità del fenomeno è definita come la differenza di luminosità che si percepisce in presenza ed in assenza di flickering in una data posizione. In definitiva, si può affermare che:

- avendo le pale una forma rastremata con lo spessore che cresce verso il mozzo; il fenomeno risulterà tanto più intenso quanto maggiore sarà la porzione di disco solare coperta dalla pala stessa e quanto minore la distanza dal ricettore;
- l'intensità del flickering sarà minima quando l'ombra prodotta è generata all'estremità delle pale;
- maggiori distanze tra generatore e ricettore determinano ombre meno nette; in tal caso l'effetto flickering risulterà meno intenso e distinto.

La presente relazione ha lo scopo di stimare le aree potenzialmente interessate dal fenomeno in relazione agli aerogeneratori che costituiscono il parco eolico in oggetto.

Nello specifico, quando si valuta l'impatto da shadow flickering, lo stesso può essere realizzato attraverso l'analisi di due casi specifici:

- il *worst case*, in cui viene valutata la massima durata del fenomeno, ovvero quella astronomica, che corrisponde alle condizioni di cielo sempre sgombro da nubi, di rotore in movimento continuo e di perpendicolarità tra quest'ultimo ed il potenziale ricettore;
- il *real case*, in cui viene valutata la durata realistica del fenomeno, tenendo conto del soleggiamento effettivo dell'area e delle specifiche condizioni anemologiche che determinano la reale operabilità degli aerogeneratori.

#### 4. NORME DI RIFERIMENTO

Attualmente nel nostro paese non sono state emanate specifiche norme o linee guida che regolamentino i limiti di esposizione al fenomeno dello Shadow flicker generato dall'esercizio degli impianti eolici, né è stata definita una distanza massima oltre la quale si ritiene improbabile il verificarsi di un impatto significativo sulla salute umana.

Viceversa, a livello internazionale esistono diverse linee guida e normative che stabiliscono specifici limiti di esposizione, in termini di ore/anno e ore/giorno, al fenomeno in esame.

La presente valutazione è finalizzata a valutare il cosiddetto "worst case", tenendo conto delle principali linee guida e/o normative internazionali che fissano i limiti di esposizione entro i quali gli effetti del fenomeno sulla salute umana possono considerarsi trascurabili o nulli, quali:

- Länderausschuss für Immissionsschutz "Hinweise zur Ermittlung und Beurteilung der optischen Immissionen von Windenergieanlagen (*Guideline for identification and evaluation of the optical emissions of wind turbines*) (WEA-Schattenwurf-Hinweise)" (Germania, 2002);
- Department of Energy and Climate Change "National Policy Statement for Renewable Energy Infrastructure (EN-3)" (Regno Unito, 2011).

A titolo puramente informativo si riportano di seguito i riferimenti di altre norme in materia:

- Environment Protection and Heritage Council (EPHC) "National Wind Farm Development Guidelines - Draft" (Australia-Governo Nazionale, 2010);
- State of Queensland, Department of Infrastructure, Local Government and Planning "Wind farm State Code Planning Guideline" (Australia-Stato del Queensland, 2017);
- Western Australian Planning Commission "Guidelines for Wind Farm Development" (Western Australia, 2004);
- Victoria State Government, Department of Environment, Land, Water and Planning "Policy and planning Guidelines for Development of Wind Energy Facilities in Victoria" (Australia, 2017);
- Vlaamse overheid – Departement Leefmilieu, Natuur en Energie, VLAREM II (Belgio-Regione delle Fiandre 2017);
- Arrêté du Gouvernement wallon portant conditions sectorielles relatives aux parcs d'éoliennes d'une puissance totale supérieure ou égale à 0,5 MW (Belgio-Regione Vallone, 2014);
- Scottish Government "Onshore wind turbines" (Scozia, 2012);
- Danish Government, Naturstyrelsen, Miljøministeriet "Vejledning om planlægning for og tilladelse til opstilling af vindmøller" (Danimarca, 2015).

La maggior parte dei paesi che hanno adottato specifiche linee guida o regolamenti in materia si sono basati sulle norme di riferimento tedesche e sui limiti di accettabilità da esse introdotti. In assenza di una specifica normativa o linea guida, nazioni quali Austria, Brasile, Canada, India, Giappone e Polonia, impiegano, come buona pratica, le indicazioni contenute nelle linee guida tedesche.

Nello specifico, tali linee guida sono state introdotte nel 2002 dal comitato statale per il controllo dell'inquinamento e, da allora, sono state adottate dalla maggior parte dei Länder e sono comunemente considerate buone pratiche nella valutazione dell'impatto prodotto da un parco eolico. In particolare, tali linee guida, stabiliscono che lo shadow flickering deve essere valutato:

- fino ad una distanza tale che il rotore copra il 20% del disco solare; a distanze superiori il fenomeno è considerato troppo diffuso da poter produrre fastidio;
- per angoli del sole sull'orizzonte superiori a 3 gradi; per angoli inferiori il fenomeno si ritiene schermato dalla presenza di edifici e/o vegetazione;
- ad un'altezza di 2 metri dal suolo;

I valori limite di accettabilità stabiliti dalle suddette linee guida sono un massimo di:

- 30 minuti al giorno;

- 30 ore all'anno.

## 5. INDIVIDUAZIONE DEI RICETTORI

Allo scopo di valutare l'impatto indotto sugli edifici da parte dell'impianto eolico in progetto, sono stati individuati i recettori potenzialmente sensibili presenti in un'areale corrispondente all'involuppo delle aree buffer circolari di raggio pari a 10 volte il diametro del rotore (nel caso in esame 1700 m) del modello di aerogeneratore previsto in progetto (D pari a 170 m), con centro coincidente con le postazioni delle WTG in oggetto; ciò in accordo con quanto stabilito dalla "National Policy Statement for Renewable Energy Infrastructure (EN-3)" (UK, 2011) (PPS22 per l'Inghilterra, TAN8 per il Galles), secondo la quale è improbabile che si verifichi un impatto significativo da shadow flickering a distanze superiori a dieci volte il diametro del rotore. Si è preferito optare per seguire le indicazioni delle Linee Guida anglosassoni in quanto da esperienze pregresse è sempre risultato che i 10 diametri sono più che cautelativi nella valutazione dello shadow flickering, come peraltro avviene di default all'interno di tutti i software che valutano tale impatto.

Sebbene il fenomeno possa essere percepito anche all'esterno degli edifici, esso risulta evidente e potenzialmente fastidioso in quegli ambienti con finestrate localizzate lungo la direttrice sole-aerogeneratore e, per tale ragione, si è considerato nella simulazione la presenza di finestre di altezza pari a 1,5 metri e larghezza pari ad 1 metro, posizionate ad una quota dal suolo di 2 metri e disposte su tutte le facciate degli edifici considerati, in direzione dei quattro punti cardinali (N-E-S-W).

Di seguito sono riportati i riferimenti geografici dei potenziali recettori individuati nel buffer sopra specificato.

**Tabella 2: ricettori considerati nei 1700 metri**

Ricettore	Coordinate UTM-WGS 84 fuso 33		Categoria catastale particelle	Comune
	Est	Nord		
RC01	287447	4181343	C/2, C/2, C/2, C/2, C/3	Mazara del Vallo
RC02	290176	4181037	A/4	Mazara del Vallo
RC03	290312	4180995	F/4	Mazara del Vallo
RC04	290542	4179429	A/4	Mazara del Vallo
RC05	291153	4182558	A/4	Mazara del Vallo
RC06	291344	4182302	A/4	Mazara del Vallo
RC07	292368	4182797	A/3, C/2	Mazara del Vallo
RC08	293192	4182673	A/4, D/7	Mazara del Vallo
RC09	292893	4177687	A/2	Mazara del Vallo
RC10	293457	4177945	C/2, C/2, F/3, F/3, F/3	Mazara del Vallo
RC11	293143	4177764	A/3, F/2	Mazara del Vallo
RC12	293541	4177488	A/4, A/4, F/2, F/2,	Mazara del Vallo

			F/2, F/2, F/2, F/2	
RC13	294270	4178592	A/4, C/2, C/2	Mazara del Vallo
RC14	292775	4179178	-	Mazara del Vallo
RC15	294459	4179141	A/3	Mazara del Vallo
RC16	294235	4177229	A/4, C/2	Mazara del Vallo
RC17	294135	4175958	A/4, C/2	Mazara del Vallo
RC18	294147	4175940	A/4, A/4, A/4	Mazara del Vallo
RC19	296006	4179923	A/4	Mazara del Vallo
RC20	292715	4179711	A/4	Mazara del Vallo
RC21	287886	4178106	A/4, D/10	Mazara del Vallo
RC22	287371	4178393	A/3, A/3, C/2, C/2	Petrosino
RC23	288186	4179629	A/3	Mazara del Vallo
RC24	287993	4179736	A/4, A/10	Mazara del Vallo
RC25	287081	4179674	A/4	Mazara del Vallo
RC26	286896	4180036	A/2	Mazara del Vallo
RC27	288469	4181912	A/4	Mazara del Vallo
RC28	288582	4181974	A/4	Mazara del Vallo
RC29	288543	4181984	A/2, C/2	Mazara del Vallo
RC30	288477	4182198	A/3, A/3, D/7	Mazara del Vallo
RC31	292276	4182087	A/3	Mazara del Vallo
RC32	293072	4182351	A/4, A/4, C/2	Mazara del Vallo
RC33	292568	4184331	A/4	Mazara del Vallo

## 6. MODELLO DI CALCOLO

L'analisi dell'impatto da shadow flickering prodotto da un parco eolico è realizzata, generalmente, attraverso l'impiego di specifici applicativi che modellano il fenomeno in esame. I pacchetti software impiegati comunemente per la progettazione di impianti eolici contengono moduli specifici per il calcolo e l'analisi del fenomeno di flickering.

L'analisi si basa necessariamente sull'impiego di un modello digitale del terreno dell'area oggetto di progettazione, sulle posizioni (E, N, quota) degli aerogeneratori e dei potenziali ricettori sensibili, nonché sui dati che correlano la posizione del sole nell'arco dell'anno con

le condizioni operative delle turbine nello stesso arco di tempo.

Al fine di calcolare la posizione relativa del sole nell'arco di un anno rispetto al parco eolico ed ai ricettori è necessario definire la longitudine, la latitudine ed il fuso orario dell'area interessata dal progetto (coordinate baricentriche del dominio di calcolo).

Nello specifico, nel presente studio, è stato impiegato il modulo shadow flickering del software WindFarm 5.0.1.2 (ReSoft Limited©). Esso consente di analizzare la posizione del sole nell'arco di un anno allo scopo di identificare i tempi in cui ogni aerogeneratore può proiettare ombre sulle finestre delle abitazioni vicine. In particolare, il modello permette di:

- calcolare il potenziale per le ombre intermittenti alle finestre delle abitazioni;
- mostrare un calendario grafico degli eventi di flickering;
- mostrare un elenco dettagliato di ciascun evento di ombreggiamento (ora di inizio, di fine, durata del fenomeno, aerogeneratore/i coinvolti ecc...);
- creare mappe di impatto potenziale che mostrano le ore d'ombra intermittente per l'intero parco eolico o per le singole macchine (curve di isodurata) nell'arco dell'anno.

Al di là di una certa distanza, come già osservato, l'ombra smette di essere un problema perché il rapporto tra lo spessore della pala e il diametro apparente del disco solare diventa piccolo. Poiché non vi è un valore generalmente accettato per questa distanza massima, WindFarm permette di specificare il limite in metri o multipli del diametro o dell'altezza complessiva del generatore eolico.

Come accennato sopra, nel caso in esame, per quanto concerne le simulazioni effettuate, si è assunta una distanza massima di influenza del fenomeno in esame pari a 10 volte il diametro dell'aerogeneratore di progetto (1700 m) ed un angolo minimo di altezza del sole sull'orizzonte pari a 3°. Tali assunzioni di input al modello risultano molto conservative in relazione a quanto espresso sopra in termini teorici in riferimento al fenomeno di shadow flickering.

In particolare, il modello numerico utilizzato, al pari degli altri presenti sul mercato, produce in output una mappa di impatto nel caso più penalizzante, il così detto "WORST CASE", corrispondente alle ore in cui il sole permane al di sopra dell'orizzonte nell'arco dell'anno (ore di luce, ca. 4380 h/a), indipendentemente dalla presenza o meno di nubi, le quali inficerebbero il fenomeno stesso dello shadow flickering per l'impossibilità che si generino ombre.

Nello specifico, il worst case è caratterizzato dalle seguenti ipotesi:

- assenza di qualsiasi ostacolo naturale o artificiale (alberature, muri di cinta, edifici, ecc...), ad eccezione dell'orografia dell'area, frapposto tra i ricettori e gli aerogeneratori, tale da limitare o eliminare completamente il fenomeno dello shadow flickering;
- aerogeneratori sempre operativi;
- presenza di sole durante tutto il periodo diurno dell'anno (assenza di nubi);
- perpendicolarità tra il piano del rotore e la congiungente sole-ricettore (worst case wind direction), ovvero l'aerogeneratore insegue il sole;
- ciò considerato si evince che i risultati ai quali si perverrà risultano estremamente cautelativi, trattandosi di una stima puramente teorica.

Quindi, allo scopo di pervenire a valori più realistici di impatto, prossimi al caso reale (REAL CASE), si dovrebbe considerare il valore di eliofania locale, ovvero il numero di ore di cielo libero da nubi durante il giorno, e quello delle ore stimate di funzionamento dell'impianto eolico nell'arco dell'anno. Per l'area in esame il valore medio di eliofania corrisponde a circa 2600 h/a<sup>1, 2</sup>, quindi, i risultati del calcolo possono, ragionevolmente, essere abbattuti del

---

<sup>1</sup> Pinna M. (1985). L'eliofania in Italia. Mem. Soc. Geogr. It., 39: pag. 23-58.

<sup>2</sup> Lavagnini A., Martorelli S., Coretti C. (1987). Radiazione solare in Italia. Mappe mensili della radiazione

40,64 %, pari al complemento a 1 del rapporto  $2600/4380 = 59,36$  %.

In altri termini, rispetto al WORST CASE, la probabilità di occorrenza del fenomeno di shadow flickering si riduce realisticamente, per l'area in esame, al 59,36 % del valore calcolato dal modello impiegato e che corrisponde proprio alla probabilità che il disco solare risulti libero da nubi.

Inoltre, dal momento che il fenomeno in esame è prodotto dalla contemporanea presenza di sole libero da nubi (potenzialità di generare ombre) e di velocità del vento superiori a quella di cut-in (rotore in moto), i valori calcolati dal modello (considerando la condizione più penalizzante di rotore permanentemente in moto) possono essere ulteriormente abbattuti di una percentuale corrispondente alle ore annue di effettivo funzionamento macchina rispetto al totale delle ore in un anno (8760 h).

Per il parco eolico in esame le ore macchina sono stimate pari al 79,50% delle ore anno, ovvero 6964 ore; in altri termini, la probabilità che il rotore di un aerogeneratore risulti in movimento è appunto dell'ordine del 79,50 % (pari al rapporto  $6964/8760$ ).

In definitiva, i valori calcolati dal modello numerico (ore di ombreggiamento intermittente all'anno presso i diversi ricettori individuati) possono, realisticamente, essere ridotti di un fattore pari al complemento a 1 del prodotto  $79,50\% \times 59,36\% = 47,19\%$ , corrispondente alla probabilità composta di avere contemporaneamente l'occorrenza di rotore in rotazione (vento) e sole libero da nubi (ombre), fenomeni, questi ultimi, stocasticamente indipendenti per cui la probabilità composta risulta pari al prodotto delle singole probabilità, ovvero **52,81 %**.

## 7. **RISULTATI**

Al fine di verificare la presenza e l'intensità del fenomeno dello shadow flickering indotto dal parco eolico in progetto sono state effettuate una serie di simulazioni con software dedicato che hanno tenuto conto:

- della latitudine locale, allo scopo di considerare il corretto diagramma solare;
- della geometria effettiva delle macchine previste, ed in particolare dell'altezza complessiva di macchina, intesa come somma tra l'altezza del mozzo ed il raggio del rotore;
- dell'orientamento del rotore rispetto al ricettore;
- della posizione del sole e quindi della proiezione dell'ombra rispetto ai ricettori;
- dell'orografia locale, tramite un modello digitale del terreno (DTM) dell'area di installazione del parco;
- della posizione dei possibili ricettori (abitazioni), nonché degli aerogeneratori (layout di progetto).

Come sopra accennato, le simulazioni effettuate sono state condotte in condizioni conservative, assumendo il cielo completamente sgombro da nubi, foschia, ecc. e nessun ostacolo interposto tra i ricettori individuati e gli aerogeneratori previsti in progetto.

Il programma effettua il calcolo delle ore del giorno in cui si potrebbe avere l'effetto del flickering sul ricettore considerato, facendo la somma dei minuti in cui il fenomeno risulta presente. Effettua poi la somma teorica dei minuti di ciascun mese (worst case) che poi può essere ridotta in considerazione delle giornate soleggiate, dell'operatività effettiva dell'impianto eolico, della direzione del vento ecc... Inoltre, avendo calcolato geometricamente l'evoluzione delle ombre durante la giornata, è possibile identificare l'area in cui avviene il fenomeno dello shadow flickering per ciascun aerogeneratore. Si ottengono così i dati sinteticamente riportati nelle seguenti figure.

La frequenza dello shadow flickering è correlata alla velocità di rotazione del rotore; le frequenze tipiche per le macchine considerate nel presente progetto sono dell'ordine di 0,4-

0,45 Hz (corrispondenti a 8 - 9 rpm, circa un passaggio ogni 2-2,5 secondi). In termini di impatto sulla popolazione, tali frequenze sono innocue; basti pensare che le lampade stroboscopiche, largamente impiegate nelle discoteche, producono frequenze comprese tra 5 e 10 Hz.

La tabella seguente riassume i risultati dell'analisi eseguita secondo la metodologia di calcolo descritta nelle sezioni precedenti:

**Tabella 3: risultati del calcolo, in rosso i ricettori con più di 30 ore/anno**

Ricettore	Worst case (caso peggiore)		Caso "realistico"	Caso "realistico"	Categoria catastale
	giorni/anno	ore/anno	[ore/anno]	[min/giorno]	
RC01	44	13,7	6,5	8,8	C/2, C/2, C/2, C/2, C/3
RC02	44	16	7,6	10,3	A/4
RC03	39	12,3	5,8	8,9	F/4
RC04	34	8,4	4,0	7,0	A/4
RC05	0	0	0,0	0,0	A/4
RC06	87	40,7	19,2	13,2	A/4
RC07	125	73,9	34,9	16,7	A/3, C/2
RC08	44	12	5,7	7,7	A/4, D/7
RC09	93	92,4	43,6	28,1	A/2
RC10	51	23,3	11,0	12,9	C/2, C/2, F/3, F/3, F/3
RC11	88	61,6	29,1	19,8	A/3, F/2
RC12	100	45,7	21,6	12,9	A/4, A/4, F/2, F/2, F/2, F/2, F/2, F/2
RC13	91	86,9	41,0	27,0	A/4, C/2, C/2
RC14	0	0	0,0	0,0	-
RC15	65	36,5	17,2	15,9	A/3
RC16	98	51,4	24,3	14,9	A/4, C/2
RC17	0	0	0,0	0,0	A/4, C/2
RC18	0	0	0,0	0,0	A/4, A/4, A/4
RC19	35	12,3	5,8	10,0	A/4
RC20	0	0	0,0	0,0	A/4
RC21	0	0	0,0	0,0	A/4, D/10

RC22	46	16,5	7,8	10,2	A/3, A/3, C/2, C/2
RC23	0	0	0,0	0,0	A/3
RC24	0	0	0,0	0,0	A/4, A/10
RC25	0	0	0,0	0,0	A/4
RC26	0	0	0,0	0,0	A/2
RC27	0	0	0,0	0,0	A/4
RC28	35	9,6	4,5	7,8	A/4
RC29	0	0	0,0	0,0	A/2, C/2
RC30	0	0	0,0	0,0	A/3, A/3, D/7
RC31	36	11,1	5,2	8,7	A/3
RC32	45	9	4,2	5,7	A/4, A/4, C/2
RC33	34	11,2	5,3	9,3	A/4

Nello specifico, la tabella precedente riporta il numero di giorni e di ore in cui è fisicamente possibile che il fenomeno si presenti (caso peggiore) e il valore realistico atteso di ore l'anno in cui il fenomeno potrebbe presentarsi. A tal proposito è importante sottolineare che anche il caso realistico, calcolato tenendo conto dell'eliofania locale e delle ore di funzionamento dell'impianto, è comunque un valore cautelativo in quanto nella stima non si è tenuto conto degli effetti mitigativi dovuti al fatto che il piano di rotazione delle pale non sempre risulta ortogonale alla direttrice sole-ricettore e all'eventuale presenza di ostacoli e/o vegetazione interposti tra il sole ed il singolo ricettore.

Dall'analisi della tabella si evince che, dei ricettori considerati nel buffer di 1700 m dagli aerogeneratori, solo 3 fabbricati, adibiti ad abitazione, potrebbero essere soggetti al fenomeno per un numero di ore superiore a 30 nel corso dell'anno. Nessuno di essi risulta soggetto ad una durata superiore a 30 minuti al giorno. Il dettaglio dei fabbricati che potrebbero essere soggetti al fenomeno dello shadow flickering per un numero superiore a 30 nel corso dell'anno è riportato nella tavola grafica allegata alla presente relazione, il cui stralcio è riportato nella Figura 7-2.

L'effetto si può considerare trascurabile, sulla base della seguente considerazione.

Se si considera il grafico della frequenza relativa alla direzione di provenienza del vento (Figura 7-1) per la torre anemometrica del parco eolico in oggetto si evince che i risultati sopra riportati possono essere ridotti, per i ricettori più esposti, ovvero posizionati lungo la direttrice prevalente del vento, di almeno un ulteriore 75%, dal momento che le direzioni prevalenti del vento risultano essere quella sud/sud est (16% circa) e quella nord/nord ovest (8% circa). Alla luce di ciò, nessun ricettore risulta essere soggetto al fenomeno dello shadow flickering per più di 30 ore l'anno.

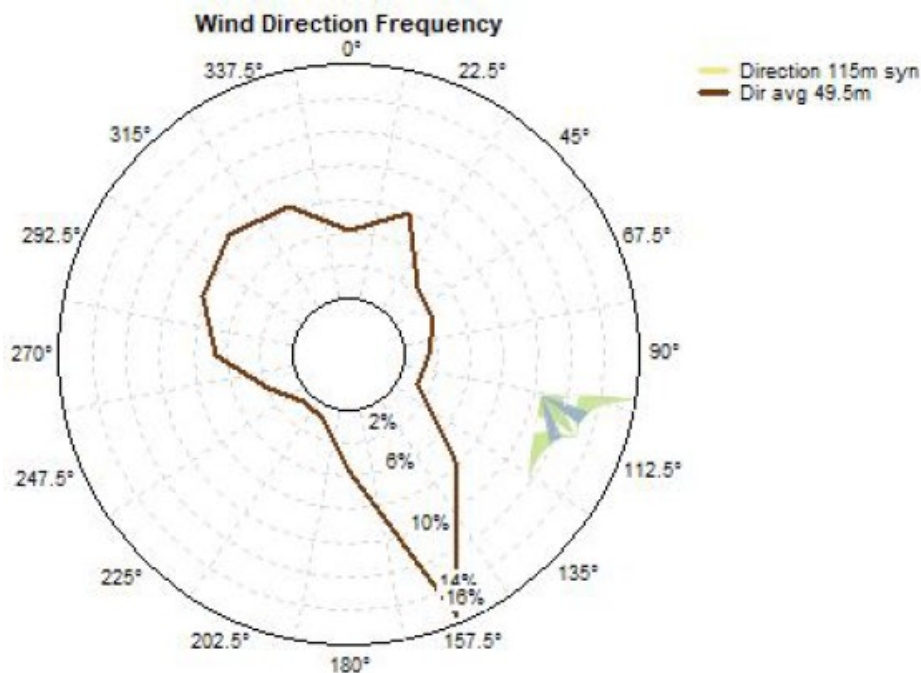


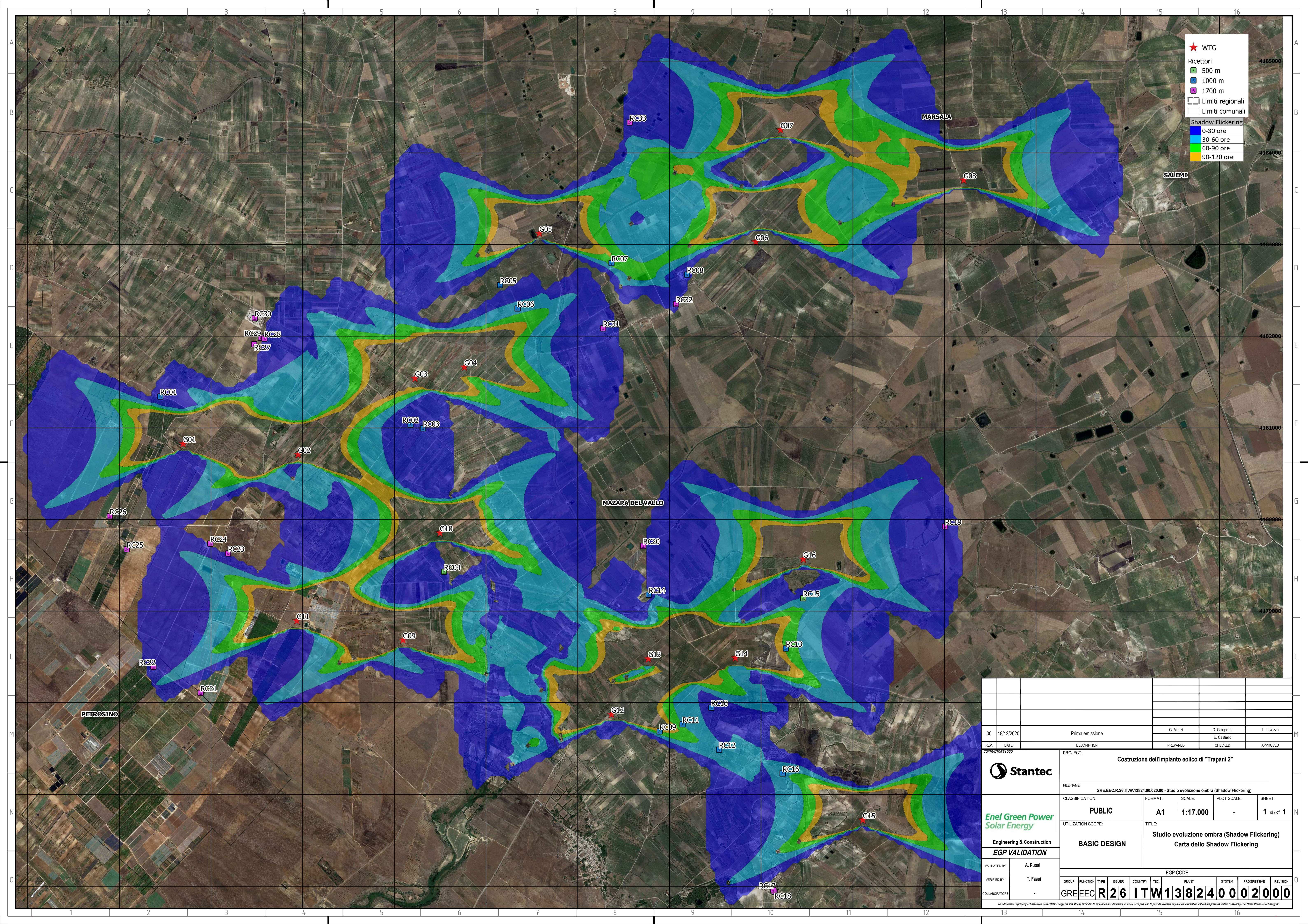
Figura 7-1: Frequenza della direzione del vento per la torre anemometrica “Contrada Coniglia”

A seguito di quanto descritto nelle sezioni precedenti si può concludere che, pur considerando una stima cautelativa in quanto non si è tenuto conto dell'eventuale presenza di ostacoli e/o vegetazione interposti tra il sole e i ricettori considerati, il fenomeno dello shadow flickering non si verifica per oltre 30 ore l'anno presso nessun ricettore sensibile.

Le distanze reciproche tra generatori eolici e ricettori, le condizioni orografiche del sito considerato, determinano la pressoché totale assenza del fenomeno in esame. In aggiunta, il fenomeno si manifesta su un numero limitatissimo di ricettori esclusivamente quando il sole presenta un'altezza inferiore ai 20° sull'orizzonte, pertanto può ritenersi trascurabile, per l'elevata intensità della radiazione diffusa rispetto a quella diretta.

È comunque utile sottolineare che, a vantaggio di sicurezza, le simulazioni effettuate sono state eseguite in condizioni **non realistiche**, ipotizzando che si verificano contemporaneamente le condizioni **più sfavorevoli** per un determinato ricettore potenzialmente soggetto a shadow flickering, ovvero concomitanza dei seguenti fattori: assenza di nuvole o nebbia, rotore frontale ai ricettori, rotore in movimento continuo, assenza di ostacoli, luce diretta. Pertanto, si sottolinea che i risultati presentati rappresentano il caso peggiore in cui si verificano i fattori sopra esposti in concomitanza per cui è ragionevole ritenere che tale fenomeno possa essere difficilmente percepito nelle condizioni reali.

Nella tavola mostrata nella pagina seguente è riportata la mappa delle ore di ombreggiamento (shadow flickering) nel worst case così come elaborata dal modello impiegato.



★ WTG

Ricettori

- 500 m
- 1000 m
- 1700 m

□ Limiti regionali

□ Limiti comunali

Shadow Flickering

- 0-30 ore
- 30-60 ore
- 60-90 ore
- 90-120 ore

00	18/12/2020	Prima emissione	G. Manzi	D. Gragnola	L. Lavazza
REV	DATE	DESCRIPTION	PREPARED	CHECKED	APPROVED
			<b>Costruzione dell'impianto eolico di "Trapani 2"</b>		
FILE NAME: GRE.EEC.R.26.IT.W.13824.00.020.00 - Studio evoluzione ombra (Shadow Flickering)					
CLASSIFICATION: PUBLIC		FORMAT: A1	SCALE: 1:17.000	PLOT SCALE: -	SHEET: 1 di 1
UTILIZATION SCOPE: BASIC DESIGN			TITLE: Studio evoluzione ombra (Shadow Flickering) Carta dello Shadow Flickering		
VALIDATED BY: A. Puosi			EGP CODE		
VERIFIED BY: T. Fassi			GROUP: GRE	FUNCTION: R	TYPE: 26
COLLABORATORS:			COUNTRY: IT	TEC: W	PLANT: 13824
COLLABORATORS:			SYSTEM: 00	PROGRESSIVE: 02	REVISION: 00
<b>GRE EEC R 26 IT W 13824 00 020 00</b>					

This document is property of Enel Green Power Solar Energy Srl. It is strictly forbidden to reproduce this document, in whole or in part, and to provide to others any related information without the previous written consent by Enel Green Power Solar Energy Srl.